КАЗАХСКИЙ НАЦИОНАЛЬНЫЙ УНИВЕРСИТЕТ ИМЕНИ АЛЬ-ФАРАБИ

А.Т. Агишев

СТРОЕНИЕ И ЭВОЛЮЦИЯ ЗВЕЗД

Сборник лекций для студентов бакалавриата, обучающихся по образовательной программе «6В05306 - Физика и астрономия»

Лекция 3. Протозвезды

Цель лекции

Рассмотреть физические процессы, происходящие ходе гравитационного коллапса межзвёздных облаков после завершения образования фрагментации; объяснить стадии протозвезды, изотермическое и адиабатическое сжатие, формирование гидростатического ядра, ударных фронтов и переход к устойчивой звезде.

Основные вопросы:

- 1. Этапы коллапса после фрагментации облака.
- 2. Формирование и рост протозвёздного ядра.
- 3. Роль углового момента и вращения.
- 4. Диссоциация молекулярного водорода и вторичный коллапс.
- 5. Ударные фронты и начальная светимость протозвезды.
- 6. Эволюция протозвезды до зажигания термоядерных реакций.

Краткие тезисы:

После завершения **фрагментации** отдельные фрагменты продолжают коллапсировать под действием гравитации. Давлением можно пренебречь, и процесс описывается как свободное падение однородной сферы

Временной масштаб свободного падения уменьшается по мере роста плотности, поэтому внутренние области коллапсируют быстрее внешних.

В ходе эволюции распределение плотности изменяется от равномерного к степенному Центральные слои уплотняются и начинают излучать в **инфракрасном** диапазоне, часть энергии запасается во вращении и турбулентности.

При достижении высокой плотности формируется центральное ядро в гидростатическом равновесии, окружённое падающей оболочкой. Масса ядра $\approx 0.05~{\rm M}\odot$, Радиус $\approx 1000~{\rm R}\odot$, Центральная температура $\approx 1000–2000~{\rm K}$, Центральная плотность $\approx 10^{-13}~{\rm r}~{\rm cm}^{-3}$

Ударная волна возникает на границе ядра и падающей оболочки. Она преобразует кинетическую энергию аккрецирующего вещества в тепло, разогревая ядро.

При достижении **температуры около 2000 К** начинается диссоциация молекул водорода ($H_2 \rightarrow 2H$). Энергия ударной волны расходуется на разрыв молекул, охлаждение ухудшается, давление падает — возникает вторичный коллапс.

После полного разрушения молекулярного водорода формируется устойчивое суб-ядро: Масса $\approx 0.01~{\rm M}\odot$, Радиус \approx несколько ${\rm R}\odot$, Центральная плотность $\approx 10^{-6}~{\rm r}~{\rm cm}^{-3}$, Температура $\approx 10^{5}~{\rm K}$

Новый ударный фронт достигает поверхности фрагмента — это момент, когда протозвезда впервые проявляет **собственную светимость**.

Эволюция протозвезды проходит стадии:

- 1. **Изотермический коллапс** тепло эффективно уходит, температура почти постоянна.
- 2. **Адиабатический коллапс** вещество становится оптически толстым, температура растёт.
- 3. Диссоциация Н₂ временная нестабильность и вторичный коллапс.
- 4. Стабилизация образование гидростатического суб-ядра.
- 5. Фаза аккреции накопление массы из падающей оболочки.
- 6. **Переход к звезде главной последовательности** при достижении температуры $\sim 10^7$ K зажигаются реакции синтеза водорода.

Протозвезда становится настоящей звездой, когда время охлаждения (время Кельвина–Гельмгольца) становится меньше времени аккреции, и гравитационное сжатие прекращается.

Вопросы для контроля, изучаемого материал:

- 1) Что происходит с фрагментом облака после прекращения фрагментации?
- 2) Почему внутренние слои коллапсируют быстрее внешних?
- 3) Какова роль ударной волны в формировании протозвезды?
- 4) Что вызывает вторичный коллапс и как он завершается?
- 5) Какова последовательность стадий эволюции протозвезды?
- 6) При каких условиях протозвезда становится стабильной звездой?
- 7) Как связаны времена Кельвина–Гельмгольца и аккреции?

Рекомендуемый список литературных источников:

- 1) Kippenhahn, R., Weigert, A., & Weiss, A. (2012). *Stellar structure and evolution* (2nd ed.). Springer-Verlag. https://doi.org/10.1007/978-3-642-30304-3
- 2) Шварцшильд, М. (2009). *Строение и эволюция звезд* (Пер. с англ., 4-е изд.). URSS.
- 3) Hansen, C. J., Kawaler, S. D., & Trimble, V. (2004). *Stellar interiors: Physical principles, structure, and evolution* (2nd ed.). Springer-Verlag. https://doi.org/10.1007/b97471

Лекция 3. Протозвезды

3.1 Формирование протозвезды

Критерий Джинса, который мы вывели, основан на методе возмущений первого порядка и задаёт условие, при котором возмущение состояния равновесия будет экспоненциально расти. Эта теория, однако, не даёт понимания конечного продукта коллапса. Теперь мы опишем различные стадии между моментом коллапса и рождением звезды.

Когда процесс фрагментации прекращается, отдельные фрагменты продолжают сжиматься. Гравитационная сила всё ещё доминирует, а градиент пренебречь. случае онжом приближённо онжом В ЭТОМ рассматривать коллапс как свободное падение однородной сферы. Временной масштаб такого свободного падения по величине сравним с временным масштабом, при котором внезапное исчезновение силы давления проявляется в уравнении движения, и составляет порядка 10^5 до 10^7 лет. Этот временной масштаб больше не является корректной оценкой вблизи центра фрагмента, так как именно там сила давления снова становится важной и прекращает коллапс.

Теперь рассмотрим процесс коллапса для **однородного облака** с массой около $1 M_{\odot}$ после окончания процесса фрагментации. В первом приближении можно считать, что неустойчивость удерживает внешние слои сферы в состоянии квазипостоянной плотности, в то время как внутренние области испытывают коллапс в режиме свободного падения. Следовательно, плотность возрастает очень быстро во внутренних областях, в то время как на внешних частях фрагмента почти не меняется. Как только центральная концентрация вещества проявляется, она неизбежно продолжает расти, и начинается неустойчивый процесс. **Временной масштаб свободного падения** для сферы радиуса r порядка:

$$t_{ff}(r) \sim (G\rho(r))^{-1/2}$$

где $\rho(r)$ — средняя плотность внутри радиуса r. Когда $\rho(r)$ увеличивается ближе к центру, временной масштаб свободного падения уменьшается в этом направлении. Таким образом, внутренние оболочки будут коллапсировать быстрее, чем внешние оболочки, и разница в плотности станет ещё более выраженной. В конечном итоге фрагмент эволюционирует от распределения плотности

$$\rho = const$$

к закону

$$\rho \sim r^{-2}$$
.

Коллапс центральной части в режиме свободного падения продолжается до тех пор, пока вещество может терять высвобождающуюся гравитационную потенциальную энергию. Часть этой энергии излучается в **инфракрасном** диапазоне. Другая часть аккумулируется в форме дифференциального вращения.

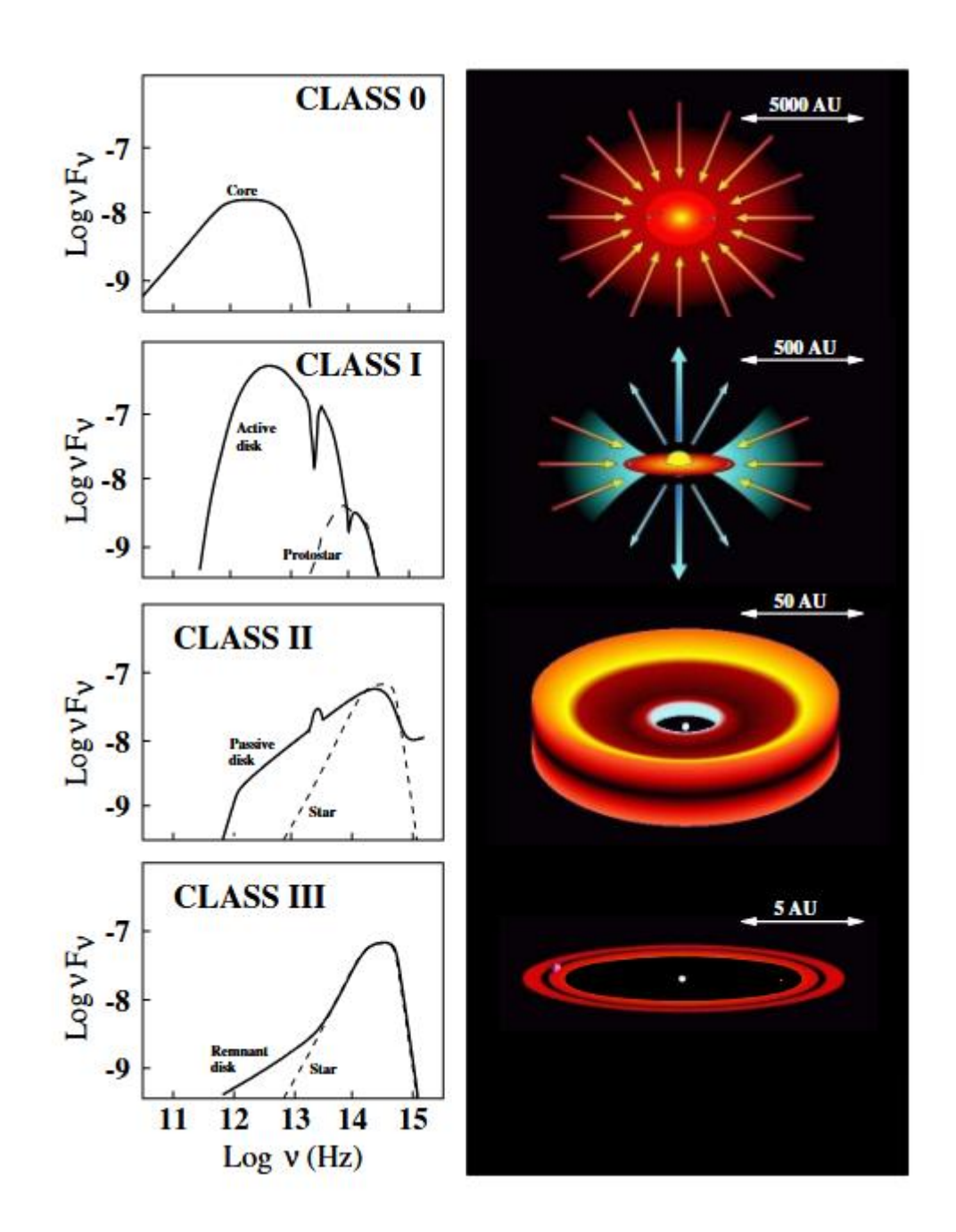


Рисунок 3.1. Различные стадии процесса звездообразования для одного фрагмента в схематическом изображении (справа) и соответствующие теоретически предсказанные спектральные распределения энергии (слева).

Материя с угловым моментом (на единицу массы) с угловой частотой $\Omega(r)$ на расстоянии r от центра будет испытывать динамический коллапс в течение временного масштаба свободного падения.

$$r^2\Omega(r)$$
,

Дальнейшее увеличение плотности приведёт к адиабатическому росту температуры. Следовательно, давление будет возрастать до тех пор, пока не прекратится режим свободного падения. В этот момент формируется центральное ядро в гидростатическом равновесии, окружённое всё ещё коллапсирующей оболочкой.

Масса ядра в этот момент составляет примерно $0.05 M_{\odot}$ радиус — около $1000 R_{\odot}$. Типичные значения для центральной плотности и температуры:

$$\rho_c = 2 \times 10^{-10} \,\mathrm{r} \,\mathrm{cm}^{-3}$$
, $T_c = 170 \,\mathrm{K}$.

Скорость свободного падения на границе ядра составляет примерно 75 км/с. По мере того, как масса ядра продолжает расти, а радиус уменьшается, эта скорость превысит локальную скорость звука. В результате возникает ударная волна, которая отделяет гидростатическое «ядро» от сверхзвукового «дождя» вещества, падающего на это ядро. На фронте удара падающее вещество останавливается и передаёт свою кинетическую энергию внутренней энергии ядра. Таким образом, аккрецирующее ядро нагревается.

В ядре газ состоит в основном из водорода в **молекулярной форме**. Однако, когда температура достигает ~2000 K, молекулы H₂ диссоциируют. В результате образуется смесь атомарного и молекулярного водорода. Эта смесь обладает высокой оптической непрозрачностью, и механизм охлаждения становится менее эффективным. На начальной стадии диссоциации большая часть энергии, которая поступает в ядро через ударную волну, будет расходоваться на разрыв молекул водорода. Ударная волна быстро затухает, прежде чем сможет достичь внешних слоёв фрагмента. Во время сильной диссоциации равновесие в ядре нарушается, и оно снова сжимается. Это происходит, когда масса в ядре примерно удваивается, а радиус уменьшается вдвое. Такой **вторичный коллапс** продолжается до тех пор, пока газ частично диссоциирован.

Когда весь водород полностью перешёл в атомарную форму, формируется динамически устойчивое суб-ядро внутри протозвезды. Масса этого суб-ядра составляет примерно

$$M \approx 1.5 \times 10^{-3} M_{\odot}$$

а радиус

$$R \approx 1.3R_{\odot}$$
.

Центральная плотность увеличивается до

$$\rho_c \approx 10^{-2} \, \text{r cm}^{-3}$$
,

а температура в центре возрастает до

$$T_c \approx 2 \times 10^4 \text{ K}.$$

На границе суб-ядра снова формируется ударный фронт. Этот фронт намного мощнее первого и теперь достигает поверхности фрагмента. В этот момент ранняя **протозвезда** проявляет свою первую светимость. Схематическое изображение двух фронтов показано на рисунке 3.2.

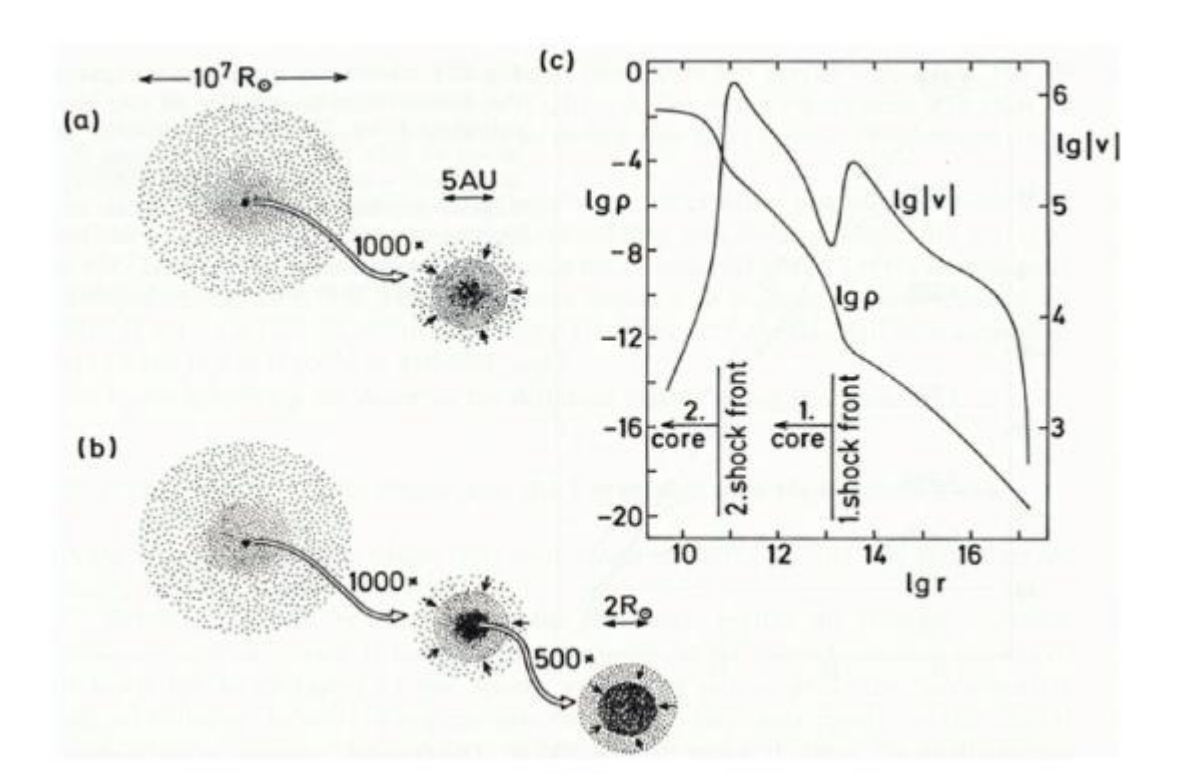


Рисунок 3.2. Коллапс газового облака с массой 1 М_⊙. (а) Через приблизительно 0.4 миллиона лет облако формирует плотное, непрозрачное ядро. Коллапс останавливается на границе этого ядра, и формируется ударный фронт между ядром, находящимся в гидростатическом равновесии, и оболочкой, которая всё ещё находится в режиме свободного падения. (b) Когда ядро становится динамически неустойчивым из-за диссоциации молекул H₂ происходит вторичный коллапс ядра. В результате формируется второй ударный фронт, но уже при гораздо меньшем радиусе г. (c) Модуль скорости |v| (в см /с и плотность ρ (в г /см3 как функция радиуса г (в см)). Области ударных волн характеризуются большими изменениями скорости.

Эволюция ядра фрагмента с массой $1 M_{\odot}$, начиная с исходной неустойчивости по Джинсу, показана на схеме рисунка 3.3. Эволюция изотермического коллапса. Когда вещество становится непрозрачным, температура растёт адиабатически. Рост температуры завершается диссоциацией молекул водорода. Центральное сжатие затем происходит адиабатически, пока время аккреции вещества на ядро (или субядро, если оно уже образовалось) остаётся малым по сравнению со временем Кельвина–Гельмгольца. Когда запас молекулярного водорода исчерпан, время становится больше, чем время Кельвина-Гельмгольца. определённый момент временной масштаб охлаждения превышает масштаб Кельвина-Гельмгольца, и аккреция постепенно прекращается: протозвезда становится стабильной, а её масса больше не увеличивается. Таким образом, мы оказываемся на шаг ближе к ответу на вопрос: когда протозвезда становится настоящей новой звездой.

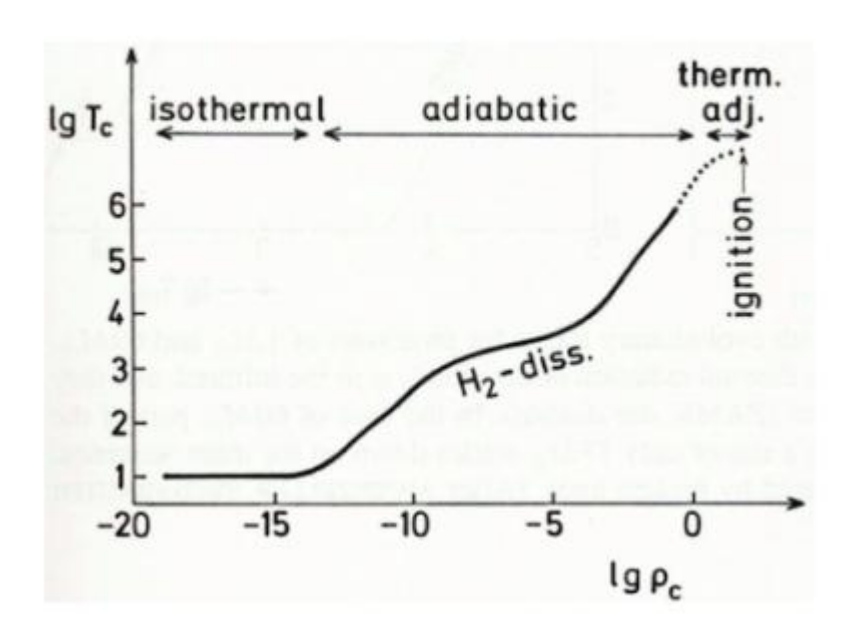


Рисунок 3.3. Центральная эволюция облака с массой 1М_⊙ начиная с изотермического коллапса и вплоть до зажигания водорода. Центральная температура Тс (в Кельвинах) показана в зависимости от центральной плотности ρ_c (в г /см3. Пунктирная линия представляет собой экстраполяцию, которая указывает, что стадия тепловой адаптации, следующая за адиабатическим сжатием, приводит к зажиганию водорода в ядре.